

インタラクティブシステム論 第11回

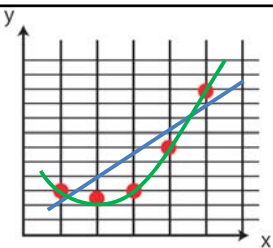
梶本裕之
Twitter ID kajimoto
ハッシュタグ #ninshiki

日程

- 4/13 第1回 イントロダクション
- 4/20 第2回 フーリエ変換
- 4/27 第3回 フーリエ変換と線形システム
- 5/4 **みどりの日**
- 5/11 **出張により休講**
- 5/18 第4回 信号処理の基礎
- 5/25 第5回 信号処理応用1(相関)
- 6/1 第6回 信号処理応用2(画像処理)
- 6/08 **インタラクティブシステムの実際(小泉先生)**
- 6/15 第7回 ラプラス変換
- 6/22 第8回 古典制御の基礎
- 6/29 **中間確認テスト(出張予定)**
- 7/6 第9回 行列
- 7/13 第10回 行列と最小二乗法
- 7/20 第11回 **インタラクティブシステムと機械学習**
- 7/27 第12回 **ロボティクス**
- 8/3 期末テスト(出張中)

前回のレポート課題(1)

次のデータ系列に対して、
Scilabを用いて、
(1) 直線による近似、
(2) 2次曲線による近似を適用、
パラメータを求め、
曲線とデータをグラフに描け



x	1.0	2.0	3.0	4.0	5.0
y	3.0	2.5	3.0	6.0	10.0

なおScilabでは行列Aの擬似逆行列はpinv(A)で直接求めることができる。
当然自分でinv(A'*A)*Aとやっても同じ。

(1-1) 直線による近似

$$y = a_1 x + a_2$$

これは
 $y = a_1 x_1 + a_2 x_2$ where $x_2 = 1$
とみなせる。

$$\begin{matrix} y_1 \\ y_2 \\ \vdots \\ y_M \end{matrix} = \begin{bmatrix} x_{11} & 1 \\ x_{21} & 1 \\ \vdots & \vdots \\ x_{M1} & 1 \end{bmatrix} \begin{bmatrix} a_1 \\ a_2 \end{bmatrix}$$

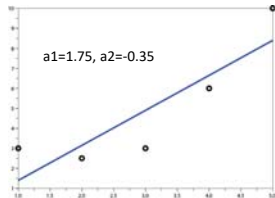
よって、

$$\mathbf{a} = \mathbf{X}^\# \mathbf{y} \text{ where } \mathbf{X}^\# = (\mathbf{X}^T \mathbf{X})^{-1} \mathbf{X}^T$$

により二つの未知パラメータを求めることができる。

(1-1) 直線による近似

$$\begin{bmatrix} 3.0 \\ 2.5 \\ 3.0 \\ 6.0 \\ 10.0 \end{bmatrix} = \begin{bmatrix} 1 & 1 \\ 2 & 1 \\ 3 & 1 \\ 4 & 1 \\ 5 & 1 \end{bmatrix} \begin{bmatrix} a_1 \\ a_2 \end{bmatrix}$$



Scilabコード例
`x=[1;2;3;4;5];`
`y=[3.0; 2.5; 3.0; 6.0; 10.0];`
`plot2d(x,y,style=-9);` //元のデータをプロット

`X=[1,1;2,1;3,1;4,1;5,1];` //擬似逆行列のための行列
`a=inv(X'*X)*X'*y` //係数を最小二乗法で求める。
`y_fitting = a(1) * x + a(2);` //フィッティング結果の直線
`plot(x,y_fitting);` //表示

(1-2) 2次曲線による近似

$$y = a_1 x^2 + a_2 x + a_3$$

これは
 $y = a_1 x_1 + a_2 x_2 + a_3 x_3$
とみなせる。

$$\begin{matrix} y_1 \\ y_2 \\ \vdots \\ y_M \end{matrix} = \begin{bmatrix} x_{11}^2 & x_{11} & 1 \\ x_{21}^2 & x_{21} & 1 \\ \vdots & \vdots & \vdots \\ x_{M1}^2 & x_{M1} & 1 \end{bmatrix} \begin{bmatrix} a_1 \\ a_2 \\ a_3 \end{bmatrix}$$

よって、

$$\mathbf{a} = \mathbf{X}^\# \mathbf{y} \text{ where } \mathbf{X}^\# = (\mathbf{X}^T \mathbf{X})^{-1} \mathbf{X}^T$$

により二つの未知パラメータを求めることができる。

(1-2) 2次曲線による近似

$$\begin{bmatrix} 3.0 \\ 2.5 \\ 3.0 \\ 6.0 \\ 10.0 \end{bmatrix} = \begin{bmatrix} 1 & 1 & 1 \\ 4 & 2 & 1 \\ 9 & 3 & 1 \\ 16 & 4 & 1 \\ 25 & 5 & 1 \end{bmatrix} \begin{bmatrix} a_1 \\ a_2 \\ a_3 \end{bmatrix}$$

Scilabコード例

```

x=[1;2;3;4;5];
y=[3.0; 2.5; 3.0; 6.0; 10.0];
plot2d(x,y,style=-9); //元のデータをプロット

X=[1,1,1;4,2,1;9,3,1;16,4,1;25,5,1]; //擬似逆行列のための行列
a=inv(X'*X)*X'*y //係数を最小二乗法で求める.
y_fitting = a(1).*x .+ a(2).*x + a(3); //フィッティング結果を示す
plot(x,y_fitting); //表示
    
```

前回のレポート課題(2)

次のデータ系列に対して,
 $y = a_1 \cdot \log(x) + a_2$
 を仮定してパラメータを求め,
 曲線とデータをグラフに描け
 (やや難?)

x	1.0	2.0	3.0	4.0	5.0
y	0.5	1.9	2.7	3.3	3.7

(2) logによる近似

$$y = a_1 \log(x+1) + a_2$$

これは
 $y = a_1 x_1 + a_2 x_2$ where $x_2 = 1$
 とみなせる.

$$\begin{bmatrix} y_1 \\ y_2 \\ \vdots \\ y_M \end{bmatrix} = \begin{bmatrix} \log(x_{11}+1) & 1 \\ \log(x_{21}+1) & 1 \\ \vdots & \vdots \\ \log(x_{M1}+1) & 1 \end{bmatrix} \begin{bmatrix} a_1 \\ a_2 \end{bmatrix}$$

よって,
 $\mathbf{a} = \mathbf{X}^\# \mathbf{y}$ where $\mathbf{X}^\# = (\mathbf{X}^T \mathbf{X})^{-1} \mathbf{X}^T$
 により二つの未知パラメータを求めることが出来る.

レポートの成績評価とは関係なく,
 これらの課題は, 一度は打ち込んで
 結果を見ることを勧めます.

最小二乗法は信号処理, 制御, 統計
 などあらゆる分野で使われています.

インタラクティブシステムにおける機械学習(のごく一部)

これまでの方法: 線形回帰分析

これまでの最小二乗法を用いた手法は,
 N入力 $[x_1, x_2, \dots, x_N]$ を変えた時に計測結果 y が得られる時に,
 y を x の「線形和」で表そうというものだった.

$$y = a_1 x_1 + a_2 x_2 + \dots + a_N x_N = \mathbf{a}^T \mathbf{x}$$

$y = a_1 x_1 + a_2 x_2$
($x_3 = 1$)

$y = a_1 x_1 + a_2 x_2 + a_3 x_3$
($x_3 = 1$)

出力が連続な数値ではない場合

例えば出力が、ある「判定(カテゴリー判別)」の場合、 y は連続量ではなくなる。
 (例)タッチパネル(静電容量センサ)の値から、パネルに「触れている」「触っていない」を判断⇒ $y=\{0,1\}$

<http://eetimes.jp/ee/articles/0906/23/news110.html>

線形なフィッティングの不具合(1/2)

$y=\{0,1\}$ に対して、 $y=ax+b$ で線形回帰させた場合、出力 y は0,1の範囲に収まらず、意味がよくわからない。

線形なフィッティングの不具合(2/2)

$y=\{0,1\}$ に対して、 $y=ax+b$ で線形回帰させた場合、非常に大きな／小さな入力 x に「引きずられる」現象が起きる。これは直感的に正しい判定と言えない。

どのような関数でフィッティングすべきか

階段関数でフィッティング？
 一見良さそうに見えるが、閾値付近のデータに大きく影響を受ける(閾値付近のデータ「だけ」で決まってしまうし、閾値付近にデータが無いときには不定になってしまう。

どのような関数でフィッティングすべきか

$h(x) = ax + b$ (線形回帰) $h(x) = \mathbf{a}^T \mathbf{x}$
 の代わりに、
 $h(x) = \frac{1}{1 + e^{-(ax+b)}}$ (ロジスティック回帰) $h(x) = \frac{1}{1 + e^{-\mathbf{a}^T \mathbf{x}}}$
 を用いる。
 (h: hypothesis function)

ロジスティック関数

$$h(\mathbf{x}) = \frac{1}{1 + e^{-\mathbf{a}^T \mathbf{x}}}$$

$\mathbf{a}^T \mathbf{x}$ が正の大きな値では: $h(x) =$
 $\mathbf{a}^T \mathbf{x}$ が負の大きな値では: $h(x) =$
 $\mathbf{a}^T \mathbf{x} = 0$ では: $h(x) =$
 最小値0, 最大値1をとり $\mathbf{a}^T \mathbf{x} = 0$ で1/2を取るため、
確率として解釈可能。
 \mathbf{a} を求めるには最適化パッケージを用いる

ロジスティック関数(参考)

$$h(\mathbf{x}) = \frac{1}{1 + e^{-a^T \mathbf{x}}}$$

フィッティングするために、最小化すべき「誤差」を考える

普通に考えると、

- Y=0の時: 誤差は $h(x_i)$
- Y=1の時: 誤差は $1-h(x_i)$

これをまとめて書くと、

$$\min \left[\sum_{i=0}^{N-1} -y_i h(x_i) - (1-y_i)(1-h(x_i)) \right]$$

N: データ点数

ロジスティック関数(参考)

$$\min \left[\sum_{i=0}^{N-1} -y_i h(x_i) - (1-y_i)(1-h(x_i)) \right]$$

しかしこの誤差だと一意の収束が難しいことが知られる。

実際には、

- Y=0の時: 誤差として $-\log(h(x_i))$ を用いる
- Y=1の時: 誤差として $-\log(1-h(x_i))$ を用いる
- またパラメータ a_1, a_2, \dots の大きさを抑える。

これらをまとめて書くと、

$$\min \left[\sum_{i=0}^{N-1} -y_i \log(h(x_i)) - (1-y_i) \log(1-h(x_i)) + \lambda \sum_{j=0}^{M-1} a_j^2 \right]$$

N: データ点数, M: 説明変数の個数

回帰と分類(Regression & Classification)

回帰: (主に連続値の) 出力結果を予測するモデルを得る。
 分類: (離散値の) 領域を分割するモデルを得る。
 線形回帰は回帰の代表。
 ロジスティック回帰は、回帰によって分類するもの。

分類(Classification)

分類するとは: 新たなデータ $[x_1, x_2]$ がやってきた時に、それに対応する y が1なのか、-1なのかを判別できる識別器(=判定式)を作ること。

平面で切る

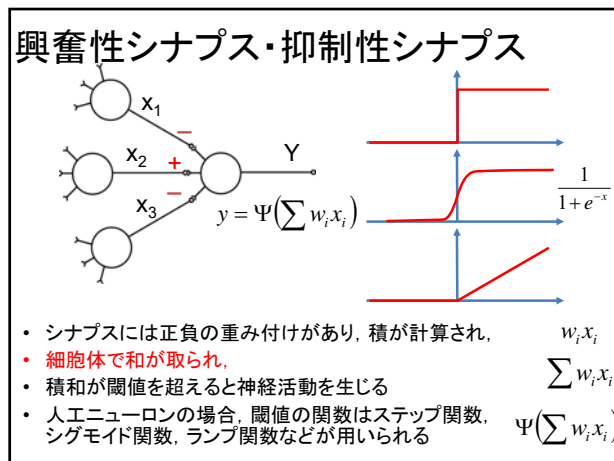
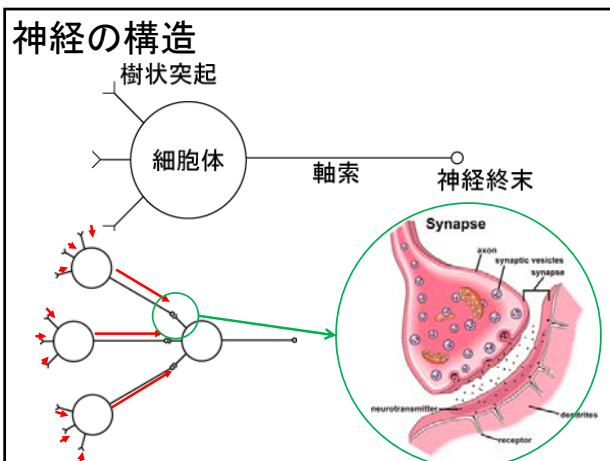
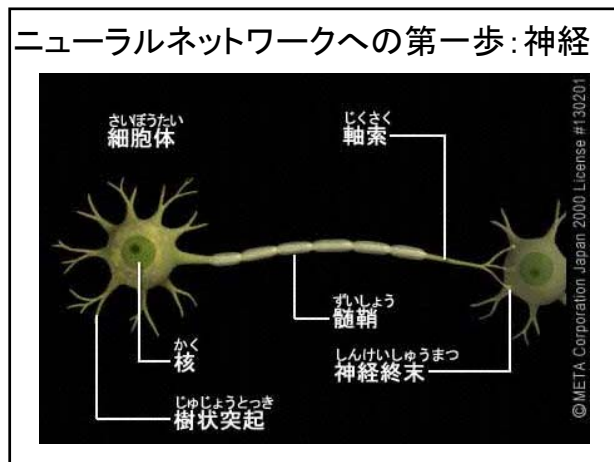
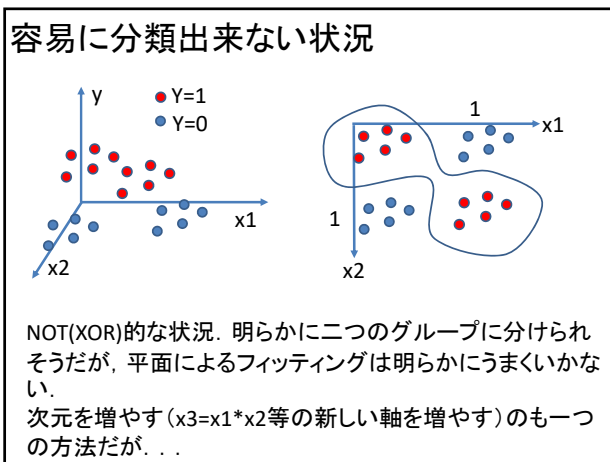
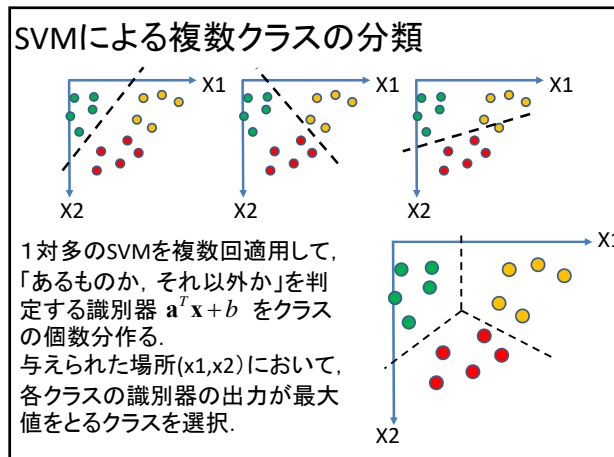
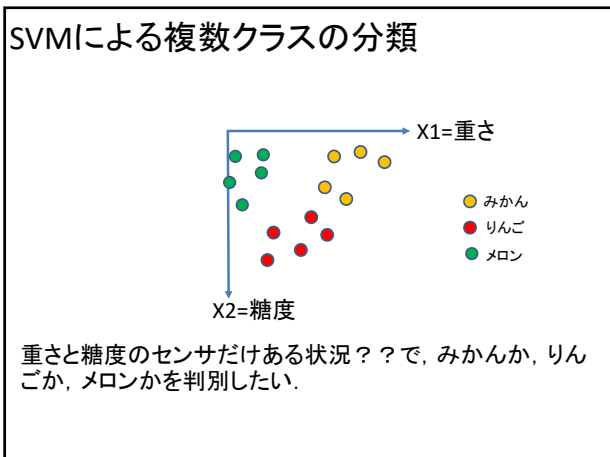
$Y=\{0,1\}$ の二つのクラスを分割する平面を探せば良い。

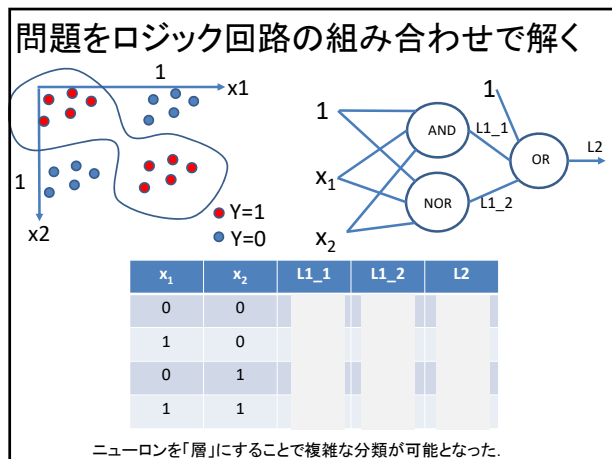
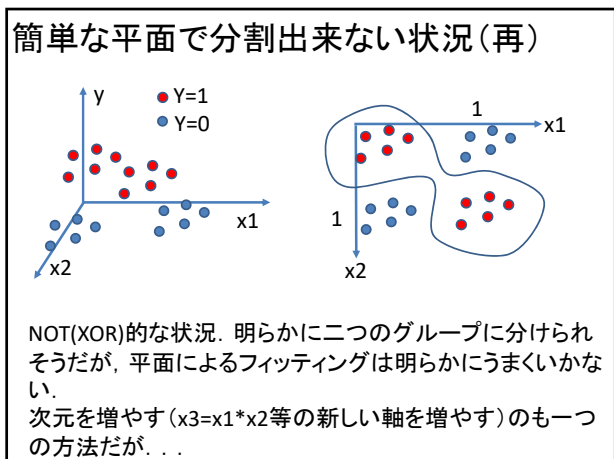
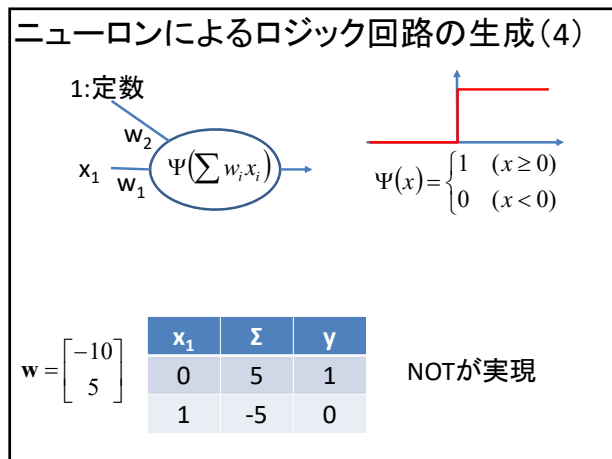
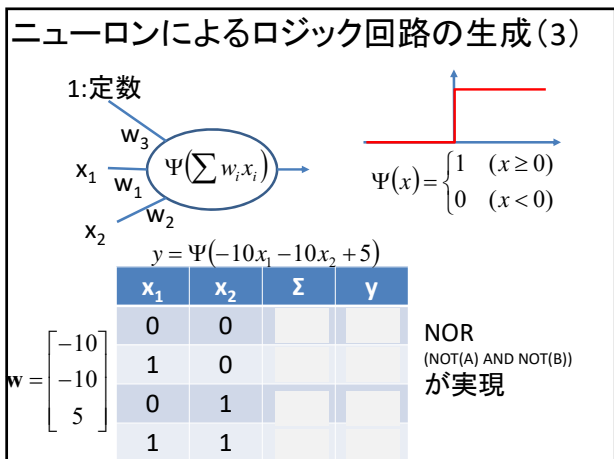
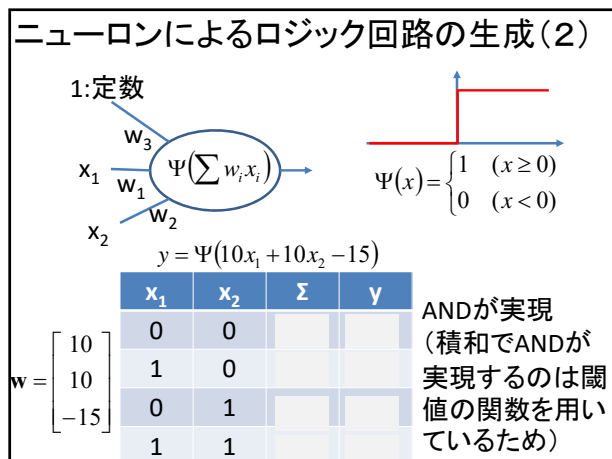
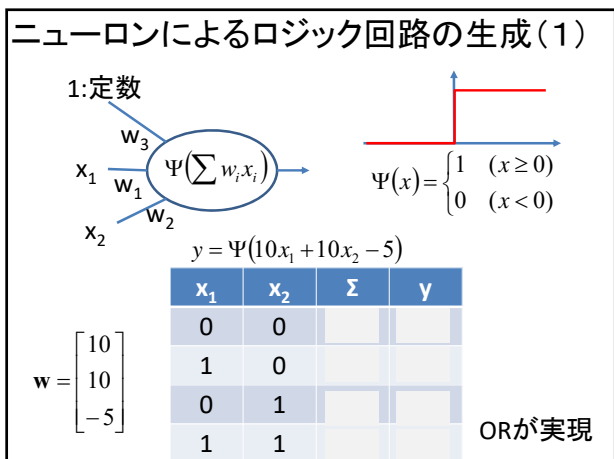
$$y = \text{sign}(y) = \text{sign}(a^T \mathbf{x} + b) \quad (b: \text{オフセット項})$$

$$f(x_1, x_2) = \text{sign}(y) = \begin{cases} 1 & \text{平面が0以上の領域} \\ -1 & \text{平面が0未満の領域} \end{cases}$$

平面で切る

分割できる平面の中で、もっともマージンが大きいものを選ぶ。⇒ (線形)SVM: State Vector Machineと呼ぶ





ニューラルネットワーク

ニューロンを多層化することで複雑な分類を可能とするもの。

- 入力: x_1, x_2, x_3
- 第1層重み付け: $w_{11}, w_{12}, w_{13}, w_{21}, w_{22}, w_{23}, w_{31}, w_{32}, w_{33}$
- 第1層出力: a_1, a_2, a_3
- 第2層重み付け: $v_{11}, v_{12}, v_{21}, v_{22}, v_{31}, v_{32}$
- 最終出力: y_1, y_2

ニューラルネットワーク

入力層、出力層以外の層を中間層と呼ぶ。中間層は最低一層。

出力1つの場合: 何らかの判定。
その写真は悪性腫瘍かどうか等

出力複数の場合: 何らかのカテゴリ判定。
その写真はりんごか、みかんか、メロンか。カテゴリの数だけ出力あり
(例えば文字認識だと文字の種類だけの出力)

やっていること: 2巡(以上)の「内積」

第一層の計算:

$$a_1^1 = \Psi(w_{11}x_1 + w_{12}x_2 + w_{13}x_3)$$

$$= \Psi(\dots)$$

$$= \Psi(\dots)$$

$\Psi(\)$ はステップ関数、シグモイド関数、ランプ関数など

やっていること: 2巡(以上)の「内積」

第一層の計算: $\Psi(\)$ を無視すれば
(完全に無視するとニューラルネットワークの機能は大幅に無くなるがここでは説明のため)

$$a_1 = \mathbf{w}_1^t \mathbf{x} \quad a_2 = \mathbf{w}_2^t \mathbf{x} \quad a_3 = \mathbf{w}_3^t \mathbf{x}$$

つまり第一層では入力ベクトル \mathbf{x} に対して、3つのベクトル $\mathbf{w}_1, \mathbf{w}_2, \mathbf{w}_3$ の内積を計算
第二層でももう一度内積を計算している。

内積とは何だったか(復習)

ベクトル $\mathbf{a}=[a_x, a_y]$ のx成分は? a_x

これはベクトル \mathbf{a} とベクトル $\mathbf{x}=[1,0]$ との内積である。

$$\mathbf{a} \cdot \mathbf{x} = [a_x, a_y] \cdot [1, 0] = a_x$$

回転した座標軸, s, t を考える。
ベクトル $\mathbf{a}=[a_x, a_y]$ の, s 成分は?

これはベクトル \mathbf{a} とベクトル $\mathbf{s}=[s_x, s_y]$ との内積である。

$$\mathbf{a} \cdot \mathbf{s} = [a_x, a_y] \cdot [s_x, s_y]$$

内積は、あるベクトルが別のベクトルの成分をどれだけ持つかを表す

1回目の内積: 特徴表現

内積の意味から考えて、第一層の内積は、
入力ベクトル \mathbf{x} の、 \mathbf{w}_1 ベクトル成分、 \mathbf{w}_2 ベクトル成分、 \mathbf{w}_3 ベクトル成分(射影)を計算している。それぞれの特徴の成分をどれだけ持っているか。
この特徴ベクトルの個数は入力の次元と同じとは限らない

2回目の内積: 類似度による識別

第2層の内積は、1層で得られた「特徴」のスコアをならべたベクトルが、実際の平均的な事物(りんご, みかん, メロン)とどれだけ似ているかを内積で計算。

例: 色による識別による類推

RGBから直接物体の種類を識別すると、撮影時の輝度に強く影響される。しかし、輝度、色相に一度変換した後であれば、識別は容易になる。(実際にはこの例ではニューラルネットワークは必要ありませんが、いったん特徴空間に変換するイメージ例として)

Deep Neural Network

特徴抽出レイヤと統合レイヤのペアを多段接続したものとして理解できる。

機械学習を使うために

以下の資料を参考にしました。お勧めします。

- Stanford大学の機械学習コース
<https://www.coursera.org/learn/machine-learning/home/welcome>
- 内積を知っていれば分かる深層学習の非常に簡単な説明
<https://www.slideshare.net/SeiichiUchida/ss-71479583>

Scilabにも今回紹介したロジスティック回帰, SVM, ニューラルネットワークのツールボックスがあります。試してみることを勧めます。
<https://scilab.io/category/machine-learning/>

今週はレポートなし